

Рис. 1. Зависимость изменения функции  $H(E_0, L)$  от ЛПЭ электронов

в бесконечную среду электронов с энергией  $E_0$ . Для  $F(E_0, E)$  получены следующие приближенные формулы:

$$F(E_0, E) \approx \begin{cases} [1 - (E/E_0)] P(E, \Delta) & \text{при } E_0/2 \leq E \leq E_0; \\ (E_0/2E)^{\varepsilon/2} [1 - (E/E_0)] P(E, \Delta) & \text{при } E \leq E_0/2, \end{cases}$$

где  $P(E, \Delta) = L_{\Delta}(E)/L_{\infty}(E)$ ;  $\varepsilon = 1/\ln(E_0/I)$ ;  $L_{\Delta}(E)$  — ЛПЭ электронов с энергией  $E$ ;  $L_{\infty}(E)$  — их тормозная способность;  $I$  — средний потенциал ионизации атомов тормозящей среды.

Учитывая монотонную зависимость ЛПЭ от энергии электронов в интервале энергии 1 кэВ — 1 МэВ, можно считать, что  $H[E_0, L_{\Delta}(E)] = F(E_0, E)$ . На рис. 1 представлено распределение поглощенной энергии по ЛПЭ для случаев, когда в бесконечно протяженную водную среду попадают электроны с энергией  $10^6$  (1);  $10^5$  (2) и  $10^4$  эВ (3).

УДК 621.039.534.225

## Определение концентрации кобальта в нержавеющей и углеродистой сталях активационным методом

ГИМЕЛЬШТЕЙН Б. Г., ТЕПЛОВ П. В., ФЕДОРОВ В. А., БОЛЬШАКОВ О. П.

В настоящей работе определена концентрация кобальта в основных марках стали, применяемой в реакторостроении. Для этого использовался нейтронный активационный анализ с последующей регистрацией  $\gamma$ -излучения от образцов. Этот метод позволяет достоверно фиксировать концентрацию кобальта, превышающую 0,001%. Образцы облучались в сухом канале реактора МИФИ ЦРТ-2000, анализ проводился с помощью Ge(Li)-детектора и 800-канального амплитудного ана-

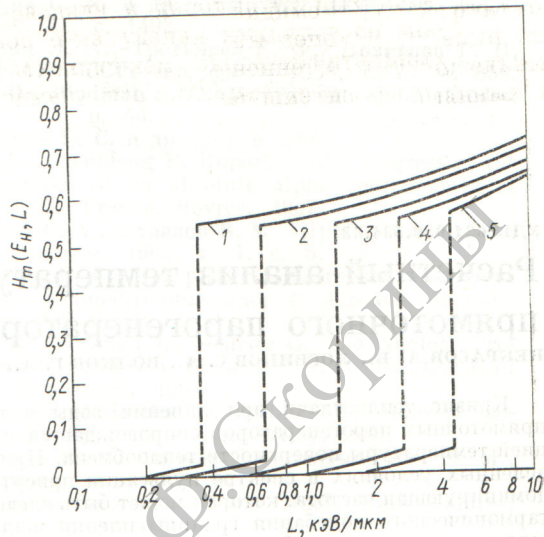


Рис. 2. Зависимость изменения функции  $H_m(E_n, L)$  от ЛПЭ заряженных частиц

Аналогично получены формулы для распределения энергии, поглощенной в пленках, находящихся в условиях электронного равновесия, при облучении их тяжелыми заряженными частицами. На рис. 2 приведены значения такого распределения при облучении полиэтиленовой пленки протонами  $10^8$  (1);  $5 \cdot 10^7$  (2);  $2 \cdot 10^7$  (3);  $10^7$  (4) и  $5 \cdot 10^6$  эВ (5).

(№ 874/8473. Статья поступила в Редакцию 1/IX 1975 г., аннотация — 31/V 1976 г. В окончательной редакции 31/V 1976 г. Полный текст 0,55 а.л., 5 рис., 7 библиогр. ссылок).

### СПИСОК ЛИТЕРАТУРЫ

1. Нижник Е. П., Лаврентович Я. П. «Атомная энергия», 1972, т. 33, вып. 2, с. 701.
2. Радиационная безопасность. Величины, единицы, методы и приборы. М., Атомиздат, 1974.

лизатора LP = 4840. Для определения концентрации кобальта  $f_{Co}$  в навесках из различных марок стали использовался относительный метод эталонов (см. таблицу). Различные марки углеродистой стали имеют примерно одинаковые значения  $f_{Co}$  ( $\sim 0,01\%$ ), в хромистой стали — в 1,5–2 раза больше, а в хромоникелевой нержавеющей стали — в 4–10 раз выше, чем в углеродистой.

Экспериментальные значения концентрации кобальта и никеля в основных марках стали, %

Параметр	15Х2НМФА	Сталь 3	Сталь 20	48ТС	22 к	3×13	X12В2МФ	X18Н9Т	X18Н10Т
$f_{Co} \cdot 10^2$	0,96	1,06	0,8	1,1	1,5	1,9	1,7	4,9	9,3
$\frac{f_{Ni}}{f_{Ni}}$	1,3	0,4	< 0,25	< 0,25	< 0,25	< 0,25	< 0,25	10,1	9,6
$K_0 = \frac{f_{Co}}{f_{Ni}} 100\%$	0,78	2,6	> 3,2	> 4,4	> 6,0	> 7,6	> 6,8	0,49	0,97

Из таблицы видно, что не существует прямой зависимости между концентрацией никеля  $f_{Ni}$  и кобальта в стали (см.  $K_0$  в таблице). Кобальт и никель — элементы, сопутствующие железу в углеродистой стали;  $K_0$  определяется конкретным соотношением этих элементов в исходных материалах, поступающих в плавку. В нержавеющей стали присутствует ~ 10% никеля, и для нее  $K_0$  оказалось существенно ниже. Концентрация

кобальта в никеле может колебаться в широких пределах, что доказывается разными значениями  $K_0$  для нержавеющей сталей 1X18Н9Т и X18Н10Т с одинаковой концентрацией никеля.

(№ 875/8592. Поступила в Редакцию 22/XII 1975 г. Полный текст 0,45 а.л., 2 рис., 1 табл., 4 библиогр. ссылки).

УДК 621.039:532.21

## О радиационной стабильности графита с гомогенной структурой

ВИРГИЛЬЕВ Ю. С., КОНДРАТЬЕВ И. А., МАКАРЧЕНКО В. Г., РОЗЕНМАН И. М.

Рост рабочей температуры и энергонапряженности АЭС с уран-графитовыми реакторами требует повышения эксплуатационных и прежде всего прочностных свойств используемого графита.

Одним из путей резкого увеличения прочности является создание графита с гомогенной структурой, в том числе из пеков и полукоксов каменноугольного и нефтяного происхождения. Их прочность достигает при сжатии 1200—1500 и изгибе 350—400 кгс/см<sup>2</sup>, коэффициент термического расширения при 20—200°С составляет  $4,2 \cdot 10^{-6}$  (°С)<sup>-1</sup>, модуль упругости равен  $(1,3 \div 1,5) \cdot 10^5$  кгс/см<sup>2</sup>, объемная масса 1,75—1,77 г/см<sup>3</sup>.

Невысокая упорядоченность кристаллической решетки такого материала даже после графитации при 2500°С

и повышенный коэффициент термического расширения предопределили при низкотемпературном (70—90°С) облучении радиационный рост, близкий к наблюдаемому для графита марки ГМЗ.

Экспериментальные результаты с учетом имеющихся данных дают основание ожидать для исследованного материала повышенной (по сравнению с графитом марки ГМЗ) скорости радиационного сжатия при температуре облучения выше 200—250°С.

(№ 876/8611. Статья поступила в Редакцию 7/I, 1976 г., аннотация — 4/VI 1976 г. Полный текст 0,2 а.л., 1 рис., 1 табл., 6 библиогр. ссылок).

УДК 543.53

## Определение концентрации висмута по $\alpha$ -активности $^{210}\text{Po}$ с помощью трековых детекторов

ЗВЕРЕВ Б. П., КРАСИВИНА Л. Е., МУРТАЗИН О. Г., СИМАХИН Ю. Ф., АРИПОВ М. М., УСМАНОВА М. М.

Предложена методика определения концентрации висмута и его распределения в твердых материалах по регистрации  $\alpha$ -активности  $^{210}\text{Po}$ , получающегося при  $\beta$ -распаде радиоактивного изотопа висмута  $^{210}\text{Bi}$ , трековыми детекторами из нитроцеллюлозы (НЦ).

Плотность треков  $\alpha$ -частиц, зарегистрированных НЦ-пленкой, пропорциональна концентрации бора в поверхностном слое изучаемого материала. Концентрация бора в слое соответствующего участка поверхности образца определяется методом сравнения с использованием эталона из чистого металлического висмута по формуле

$$C = \frac{\rho_0 \tau_0 \bar{R}_0}{\rho_3 \tau_3 \bar{R}_3} 100\%,$$

где  $\rho_0, \rho_3$  — плотность треков  $\alpha$ -частиц от образца и эталона;  $\tau_0, \tau_3$  — время экспонирования пленок на образце и эталоне;  $R_0, R_3$  — средний пробег  $\alpha$ -частиц в материале образца и эталона соответственно.

Время экспонирования НЦ-пленки на образце и эталоне выбирается таким, чтобы плотность треков  $\alpha$ -частиц на пленках была примерно одинакова и достаточна для подсчета их числа. Так как примененная НЦ-пленка регистрирует  $\alpha$ -частицы с энергией не более 3 МэВ, а испускаемые  $^{210}\text{Po}$   $\alpha$ -частицы имеют энергию 5,3 МэВ, «просматриваемая» глубина приповерхностного слоя будет составлять ~7—20 мкм от поверхности образца.

Приведены результаты определения локальной концентрации бора в приповерхностном слое висмутовых